

—中性子小角散乱は生きたままを見る分析技術— 作動状態の燃料電池の内部を可視化する

原子力機構 小泉 智

平成20~21年度 NEDO固体高分子形燃料電池実用化戦略的技術開発
「物質輸送現象可視化技術」

「中性子超小角散乱・イメージング結合技術」

日本原子力研究開発機構

プラアナンダ 山口大輔 岩瀬裕希 橋本竹治

前川康成 八巻徹也 澤田真一

外部研究協力員 東北大 川勝年洋、大同大学 堀美知郎

1-4 中性子超小角散乱・イメージング結合技術の開発

中性子による横断的観察

1cm ← マクロスケール → 10μm ← メゾ & ミクロスケール → 1nm

見る量子ビーム

原子力機構 東海
研究用原子炉
JRR3

ラジオグラフィ

- セパレータ流路
- ガス拡散層
- マクロな水濃度の変化

小角散乱法

- 膜電極接合体
(イオン伝導チャンネル、触媒)
- 基材結晶構造、担体構造
- 水・プロトンの動き

世界に先駆け両者の同時計測が可能なビームポートの構築



- 作動状態にある同一の燃料電池単セルについて、ミクロスケールでの水、水素イオンの動き、及び、マクロスケールの水分布を包括的に解析
- 高温耐久性、低加湿作動、燃料バリア性等の燃料電池セル要求特性と膜構造との相関を分子レベルで解明

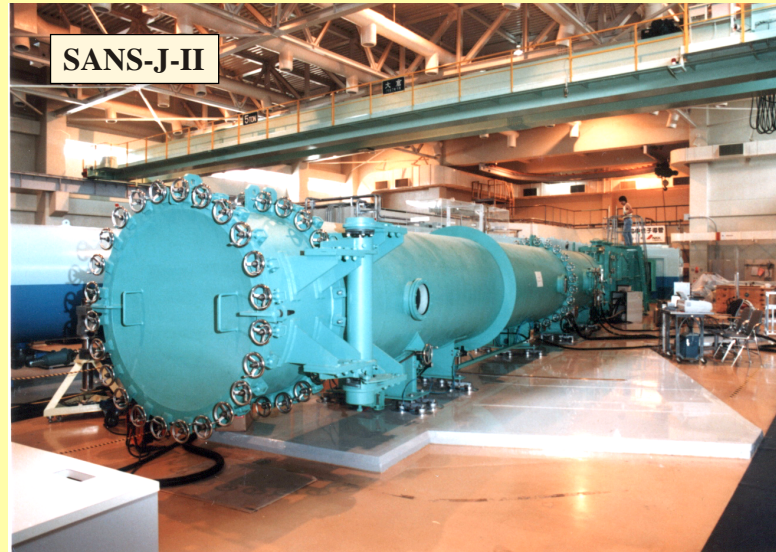
創る量子ビーム

放射線プロセス技術：小角散乱法を可視化技術として確立するためのモデル電解質膜の合成
(多様なイオン伝導チャンネルサイズ・中性子に対するコントラストを有する膜の必要性)

原子力機構 高崎
放射線照射施設
TIARA

研究設備

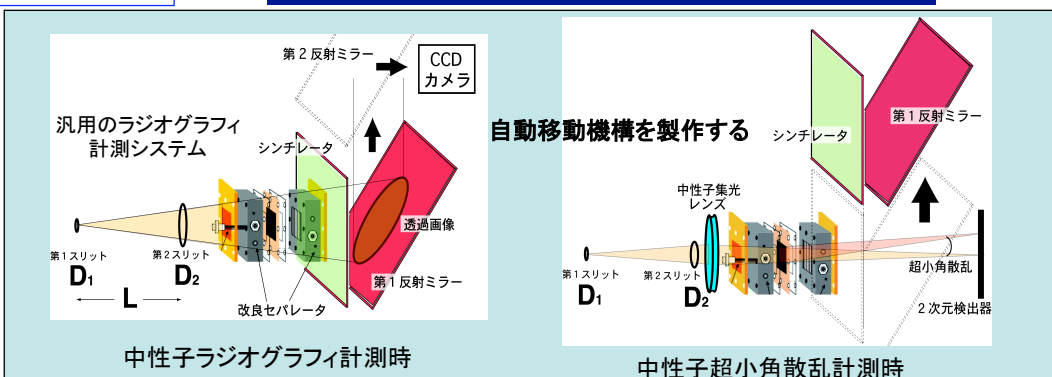
日本原子力研究開発機構 研究用原子炉JRR3 集光型・偏極中性子超小角散乱装置 (SANS-J-II)



オングストロームから数マイクロメートルの
広範な空間スケールを満遍なくその場観測

研究開発の内容

-中性子超小角散乱と中性子ラジオグラフィの融合-



同時計測システム概要

- 既存の冷中性子超小角散乱装置 (SANS-J-II) の試料位置に上下スリット可能な移動機構を備えた汎用のラジオグラフィ用の画像カメラシステムを設置

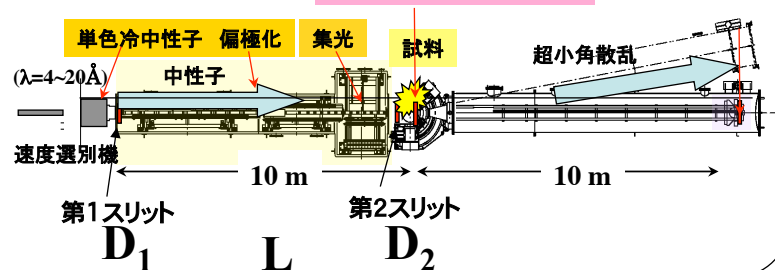
SANS-J-II since 2005

C-3-2 (Cold Neutron)@JRR3

Flux: 10^8 n/cm²/sec

ラジオグラフィー設置位置

小角散乱検出位置

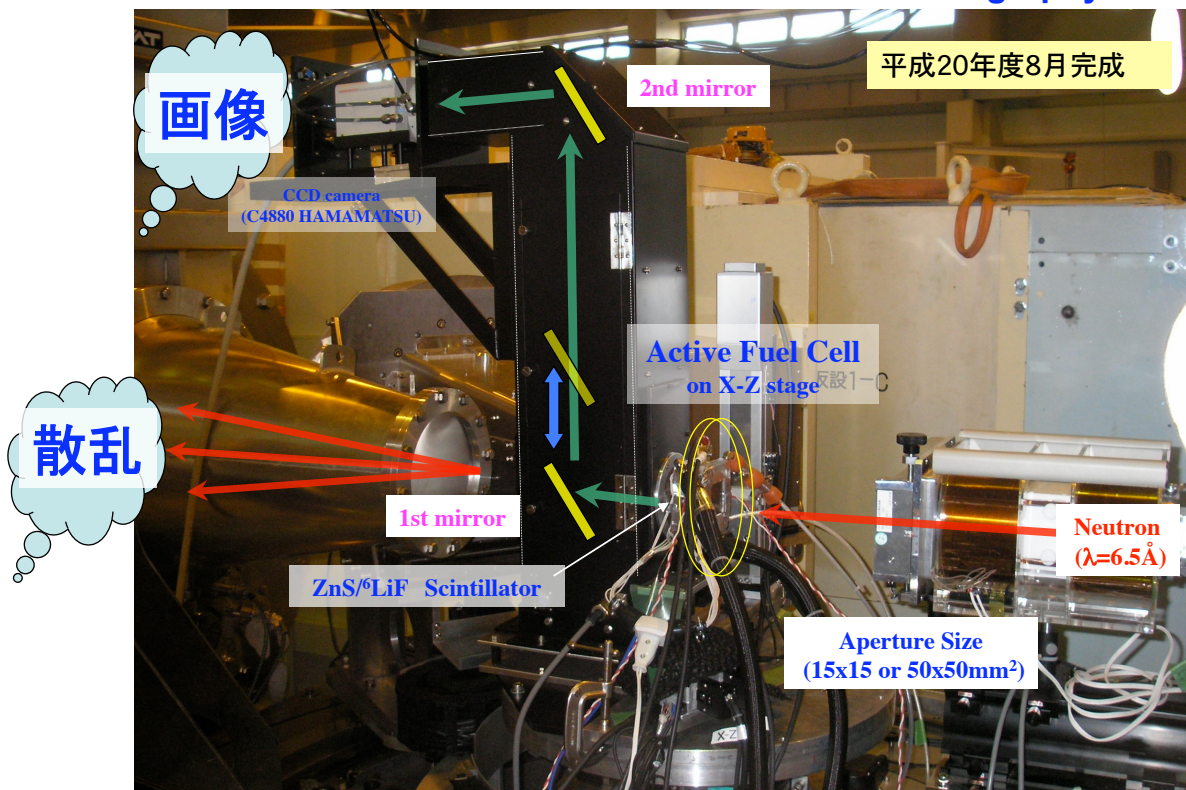


本計測システムの特長

- 長いコリメータを活かしたラジオグラフィの位置分解能の向上
- 装置に付随した速度選別機・中性子偏極素子の活用によりラジオグラフィの画像コントラストを可変にする

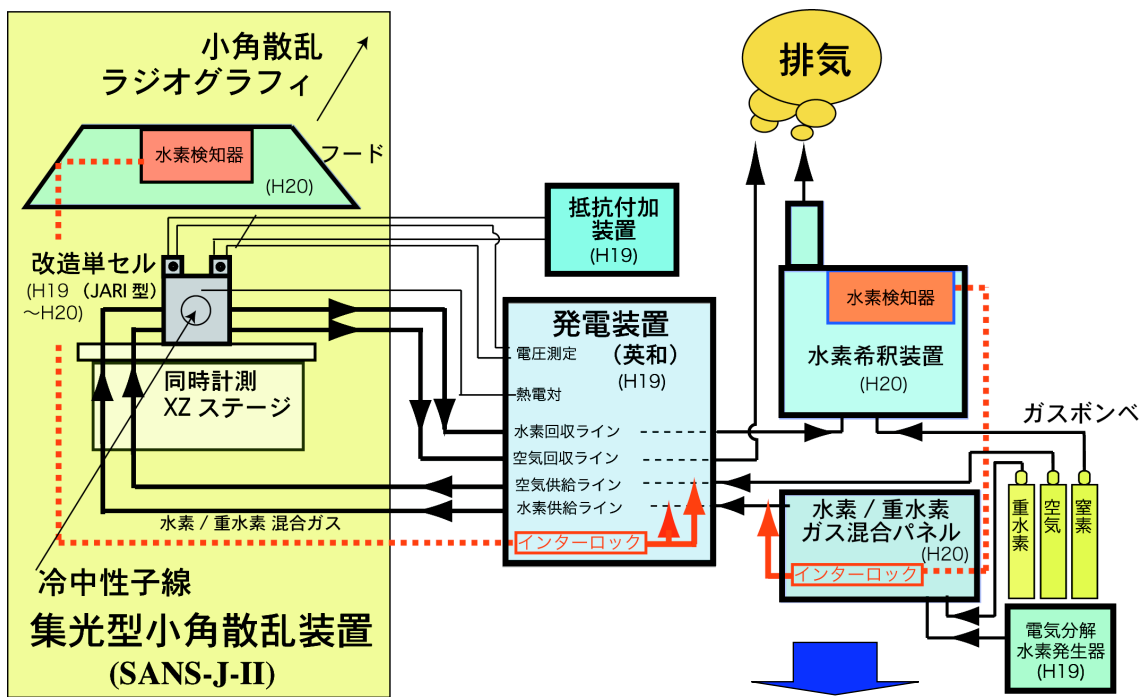
Neutron Imaging System on SANS-J-II

(Monochromatic & Polarized Cold Neutron Radiography)



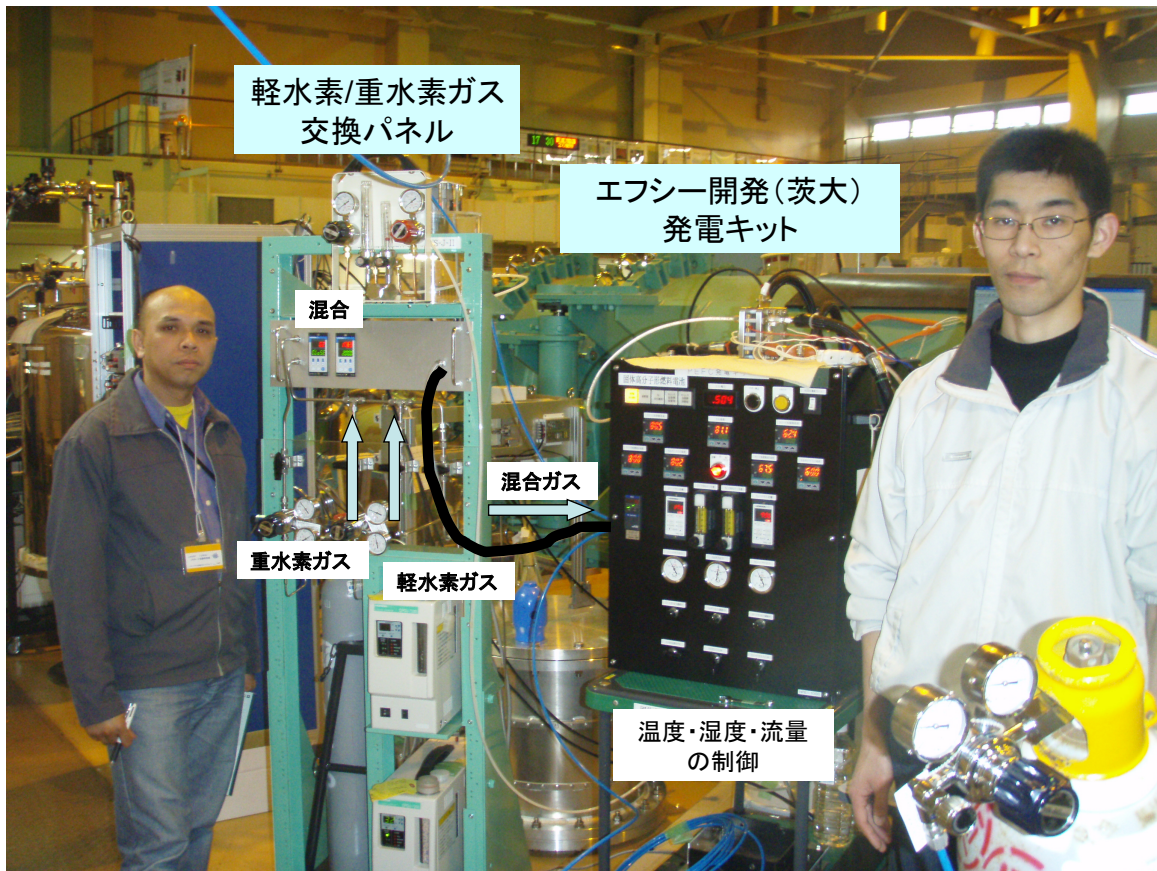
同時計測 システム概要図

平成20年度8月完成



燃料: 同位体で入れ替え

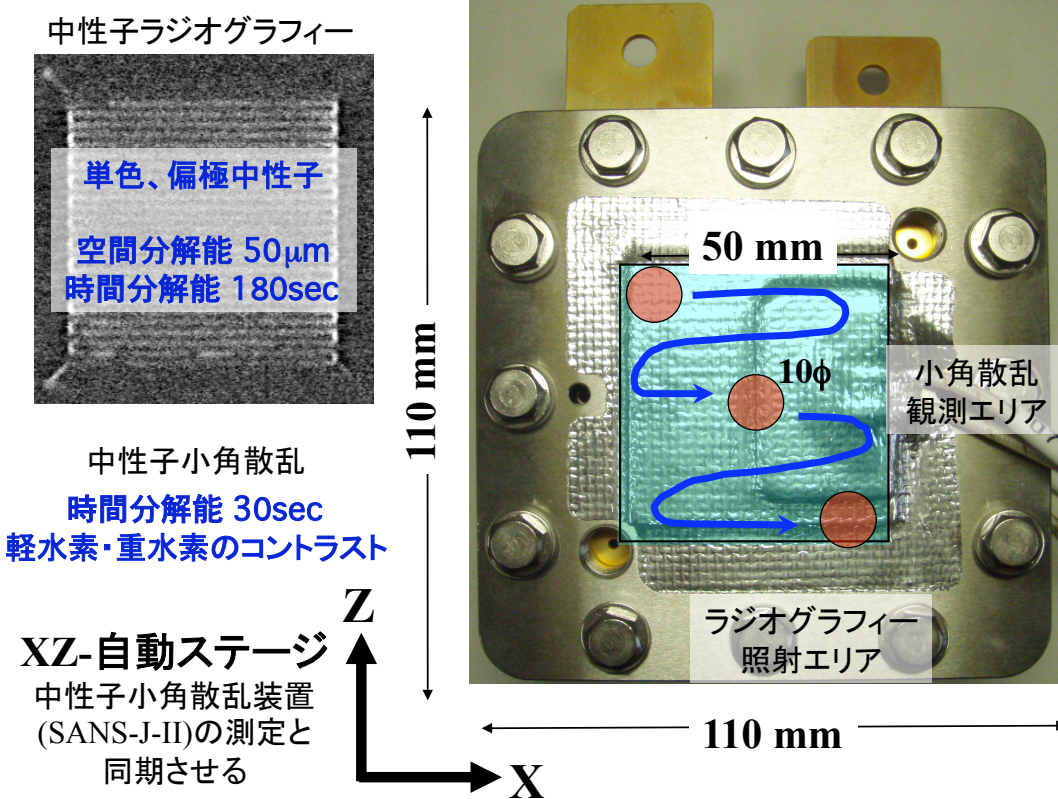
MEA構造&水プロトンダイナミクスの解析



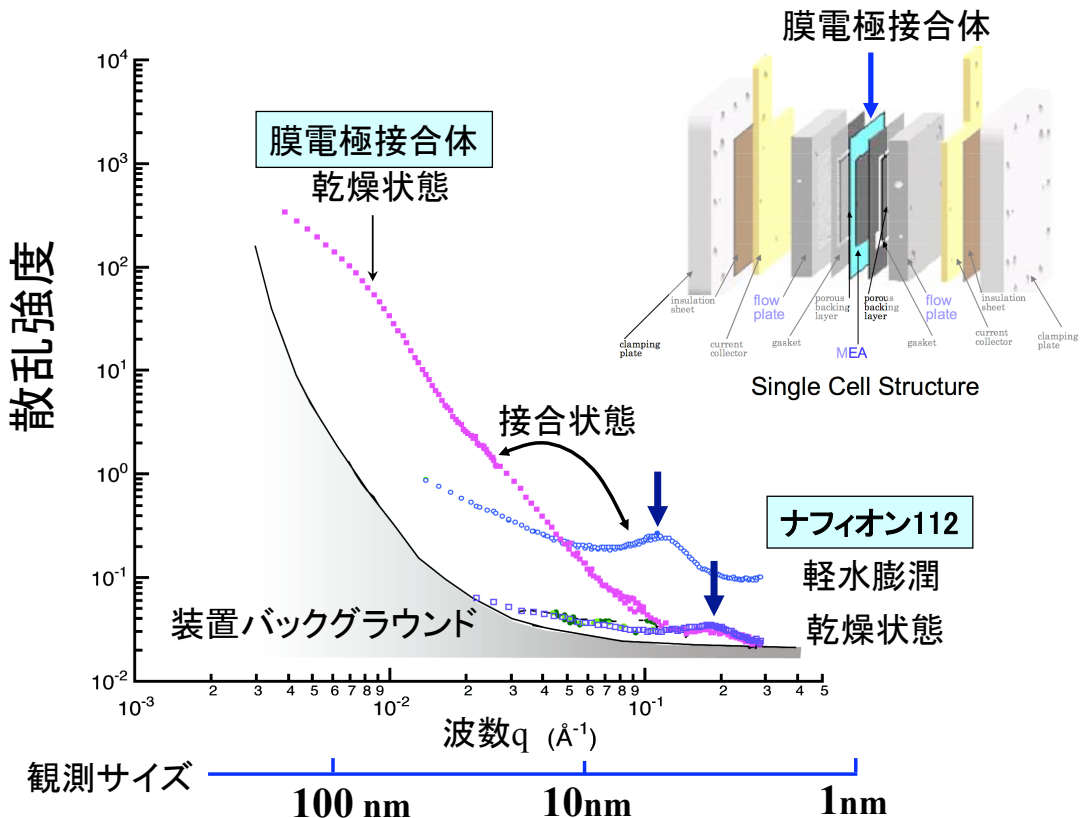
JARI型燃料電池単セル（英和社製） 小角散乱単セルへの改良

結果：透過率：改良前 0.01 改良後 0.86 $\lambda=6.5\text{\AA}$

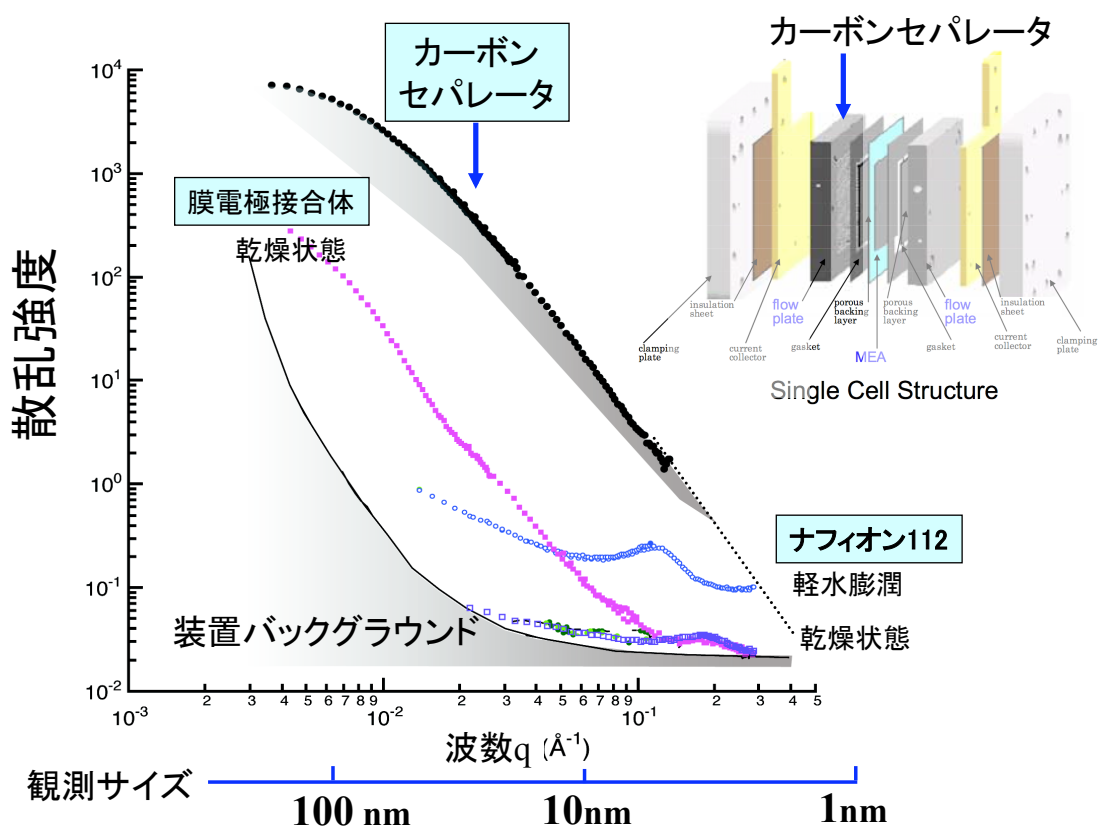
平成20年度8月完成



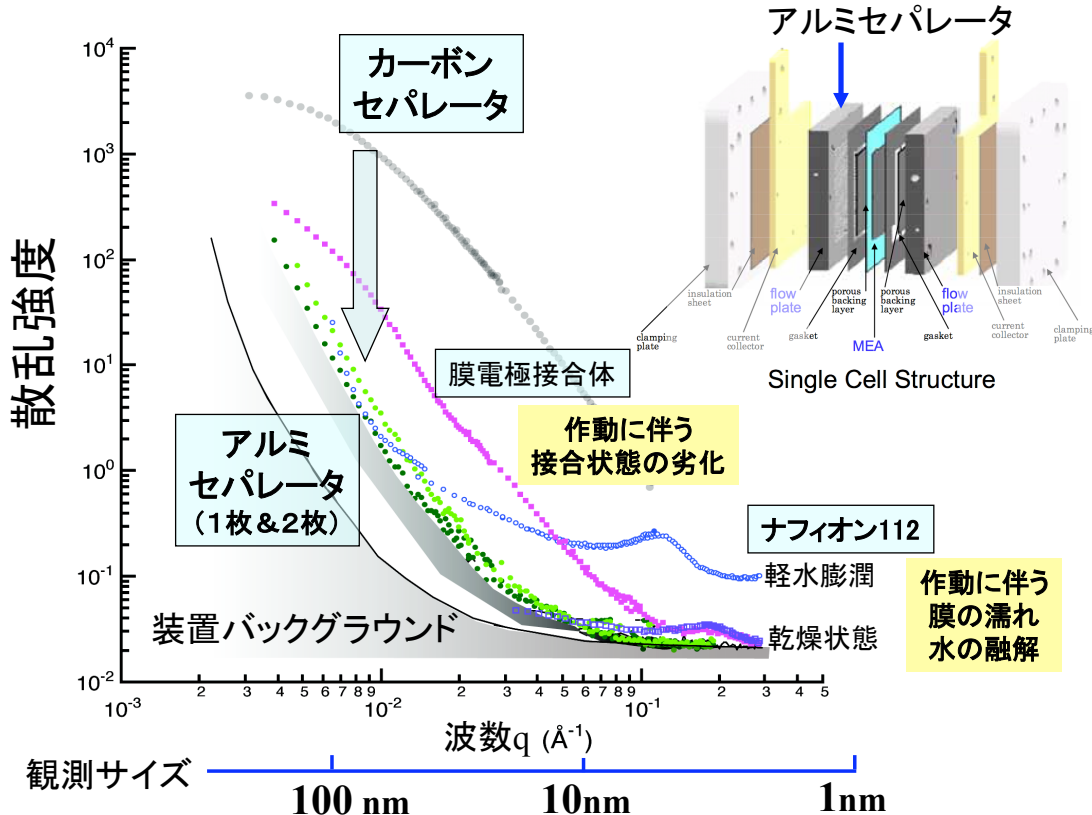
同時計測用燃料電池単セル 予備実験結果



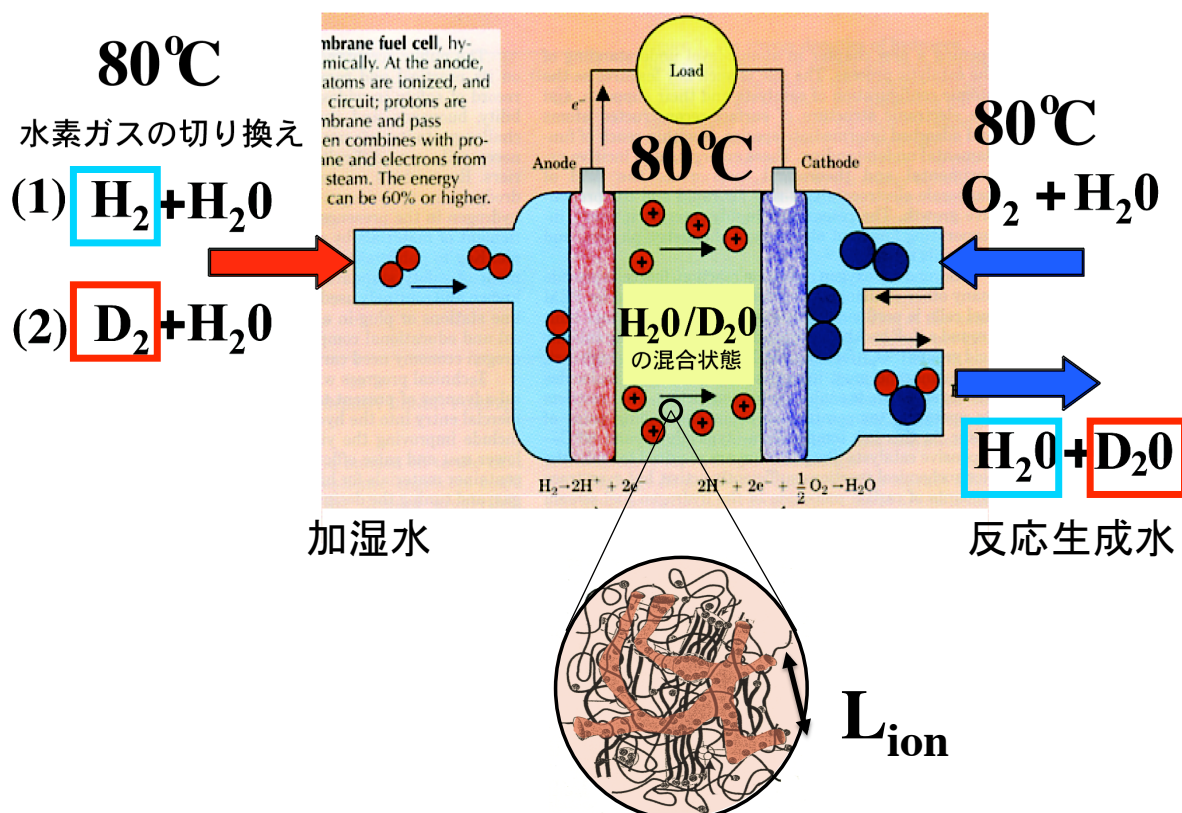
同時計測用燃料電池単セル 予備実験結果



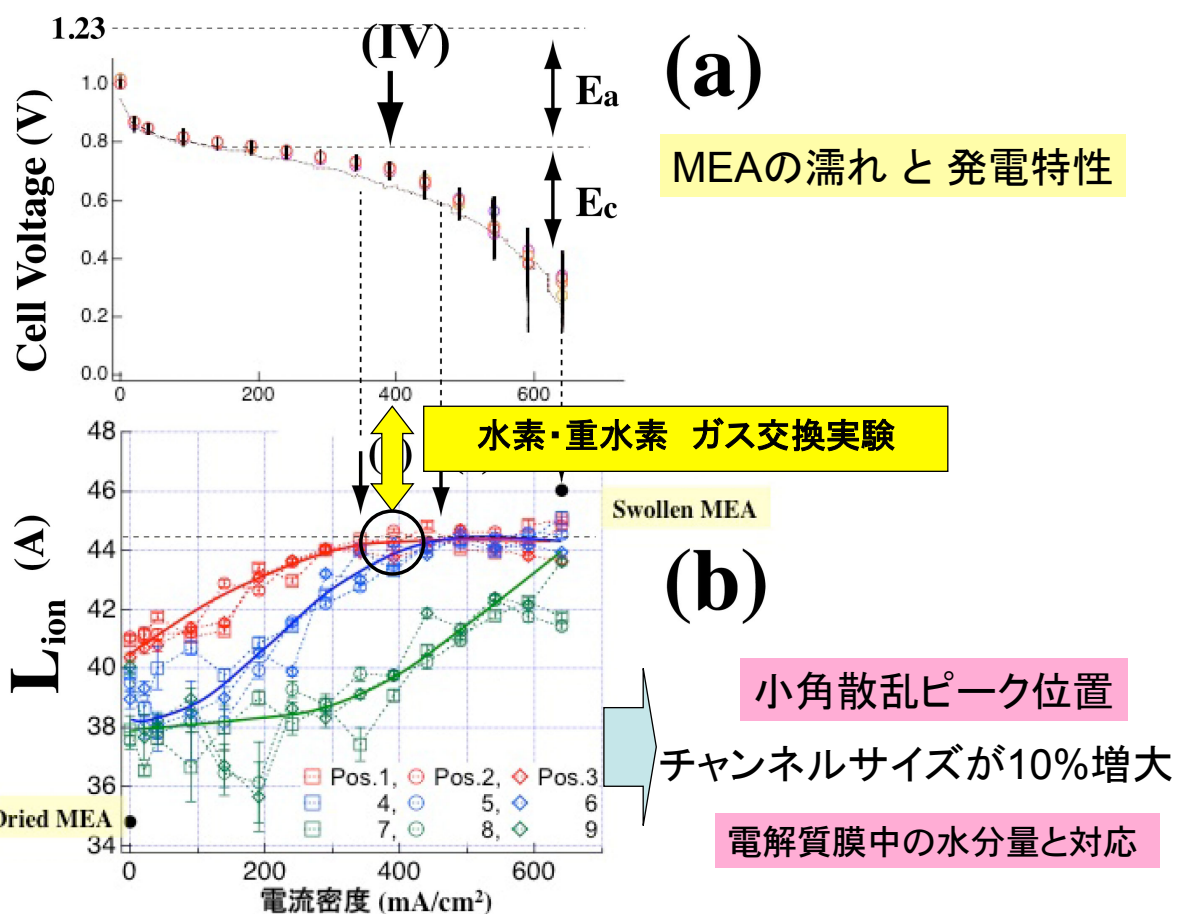
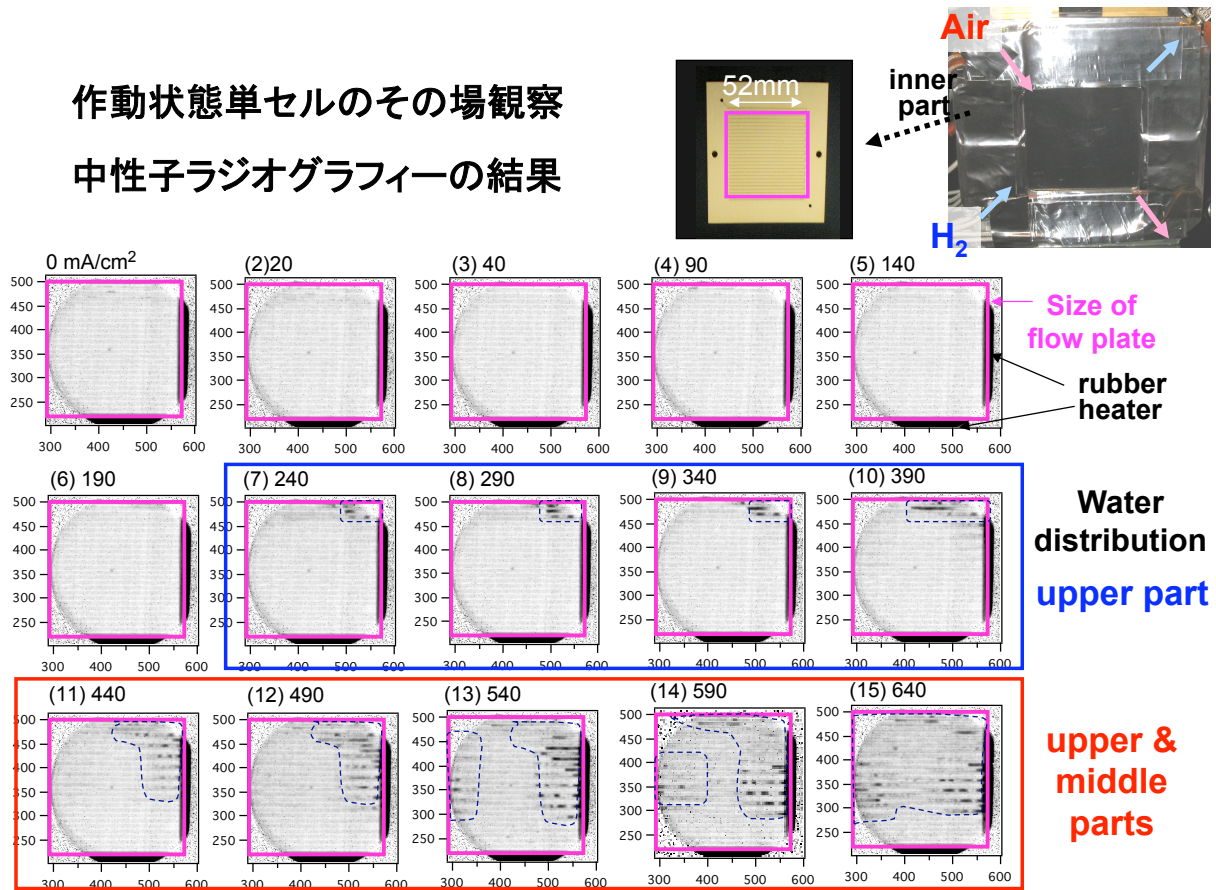
同時計測用燃料電池単セル 予備実験結果



水素・重水素 ガス交換実験 (at 400mA/cm²)



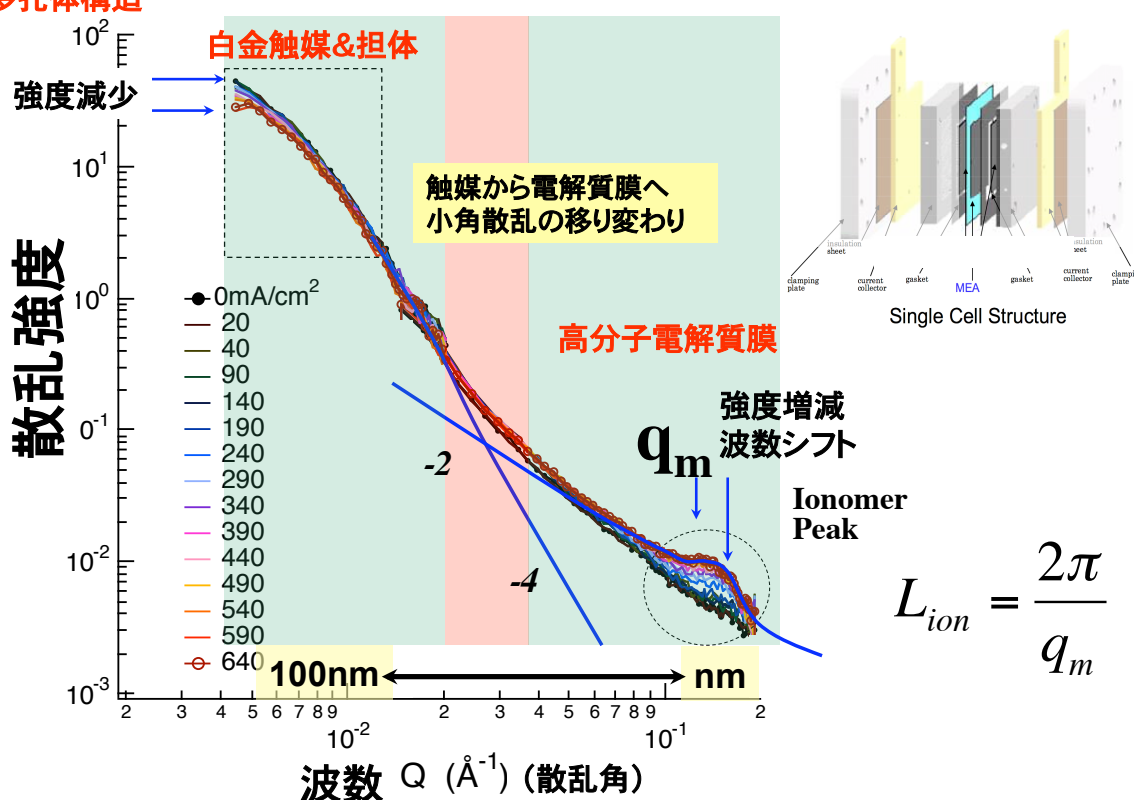
作動状態単セルのその場観察 中性子ラジオグラフィーの結果



作動状態単セルのその場観察 中性子小角散乱の結果

ガス拡散層
多孔体構造

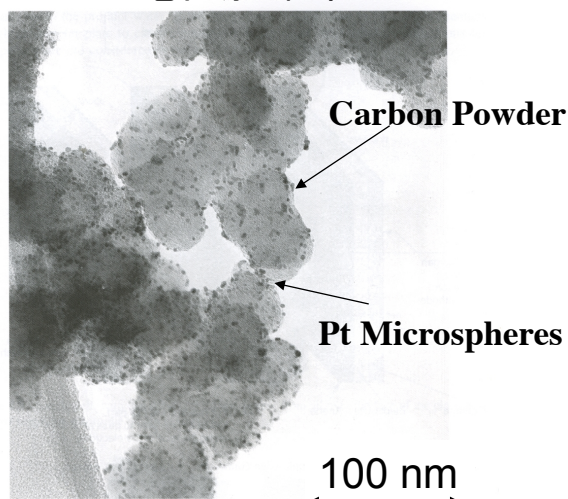
$$I(0) \propto n_c [\Delta \rho_1 V_1]^2$$



$$L_{ion} = \frac{2\pi}{q_m}$$

膜電極接合体
(Membrane Electrode Assembly)

電極触媒部



高分子電解質膜

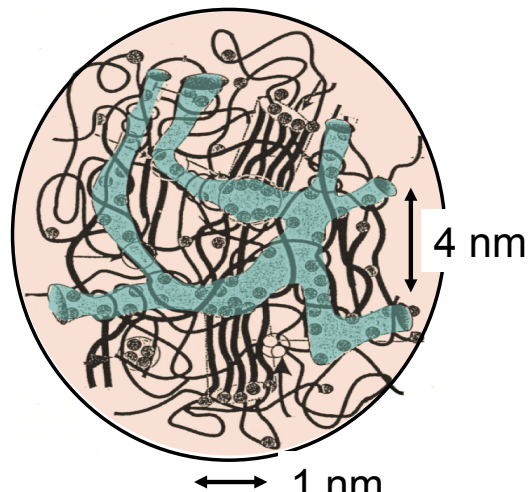
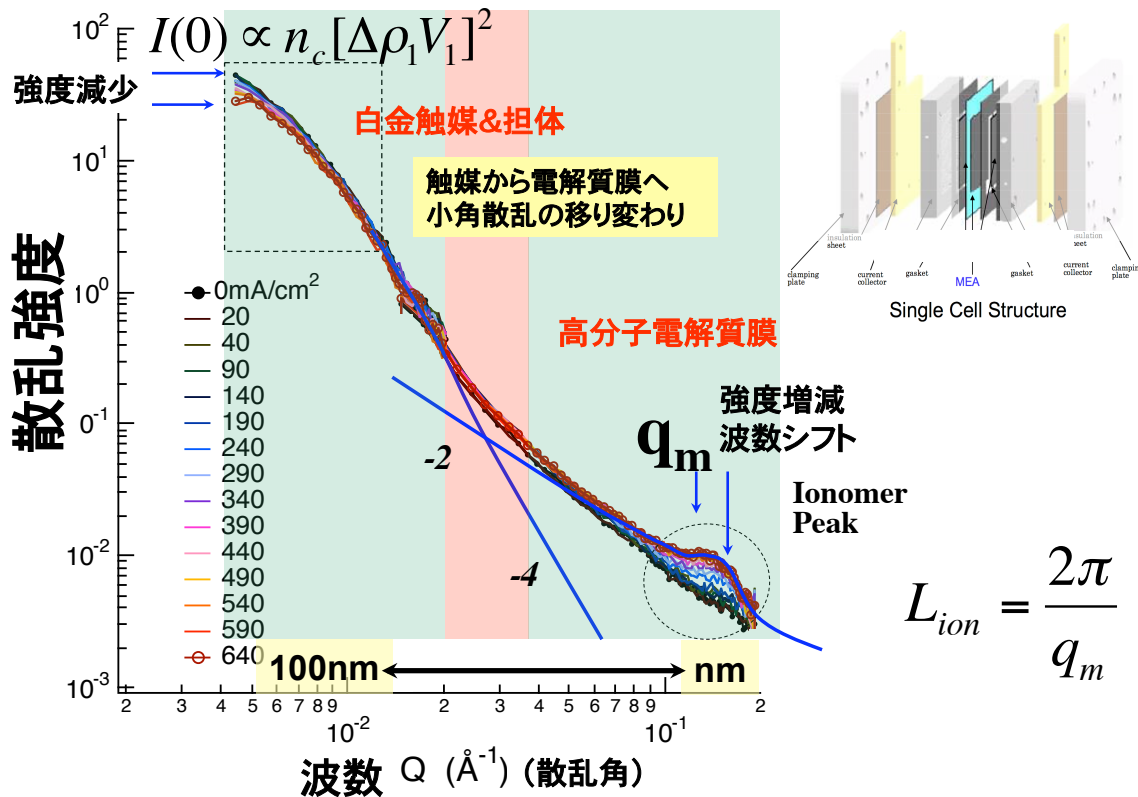


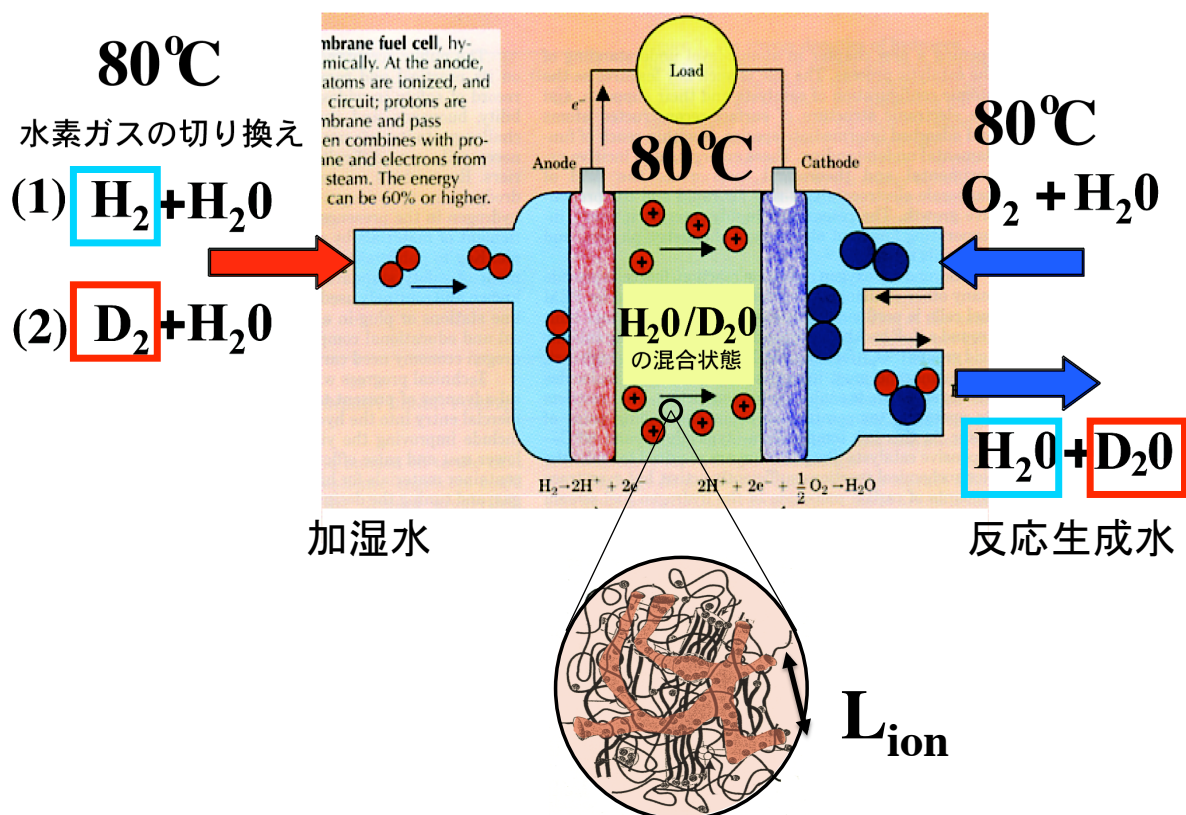
Figure 1.6 TEM image of fuel cell catalyst. The black specks are the catalyst particles finely divided over a carbon support. The structure clearly has a large surface area. (Reproduced by kind permission of Johnson Matthey Plc.)

作動状態単セルのその場観察 中性子小角散乱の結果

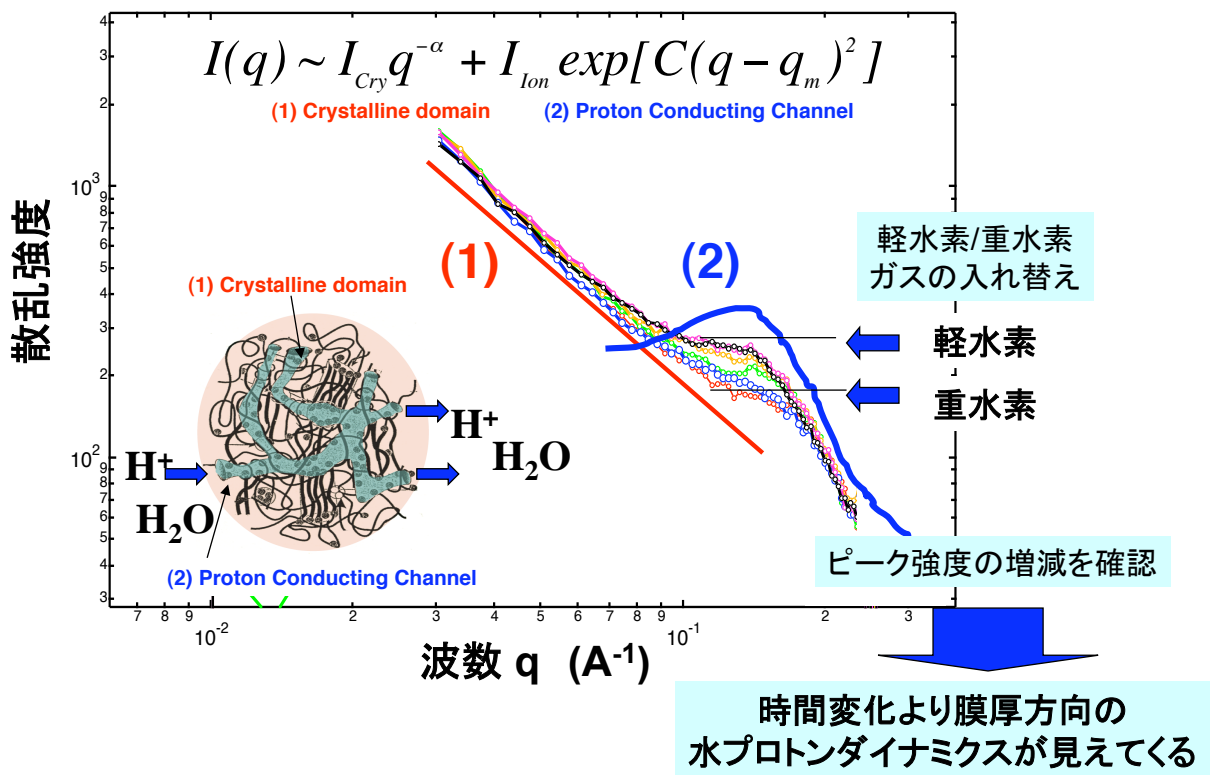


$$L_{ion} = \frac{2\pi}{q_m}$$

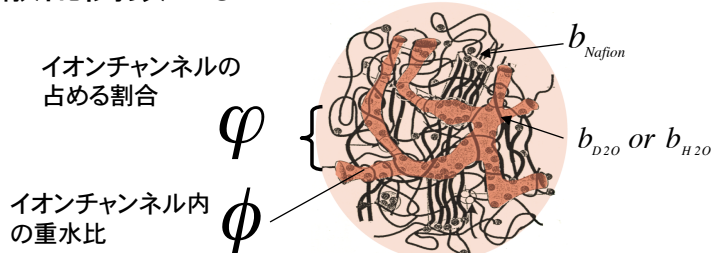
水素・重水素 ガス交換実験 (at 400mA/cm²)



水素・重水素 ガス交換実験 (at 400mA/cm²)



散乱関数のまとめ



b (10^{-6} Å^{-2})
6.36 — D_2O
4.11 — $Nafion$
-0.56 — H_2O

$$I(q) \sim I_{Cry} q^{-\alpha} + I_{Ion} \exp[C(q - q_m)^2]$$

(1) Crystalline Domain
第1項は変化なし

(2) Proton Conducting Channel

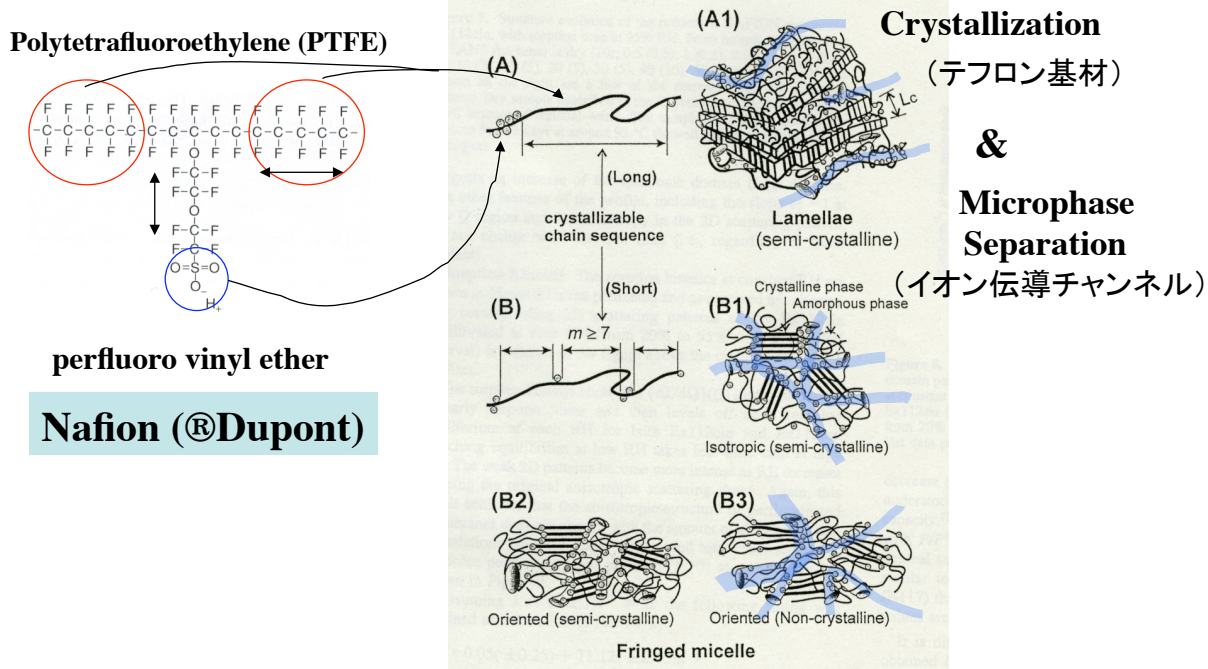
$$= b_v^2 \varphi (1 - \varphi) \quad \begin{array}{l} \text{第2項の散乱強度の変化は} \\ \text{コントラスト変化に由来} \end{array}$$

$$b_v = \underbrace{\phi b_{D_2O} + (1 - \phi) b_{H_2O}}_{\text{イオンチャンネル内の軽水/重水の平均散乱長}} - b_{Nafion}$$

散乱関数のまとめ (I)

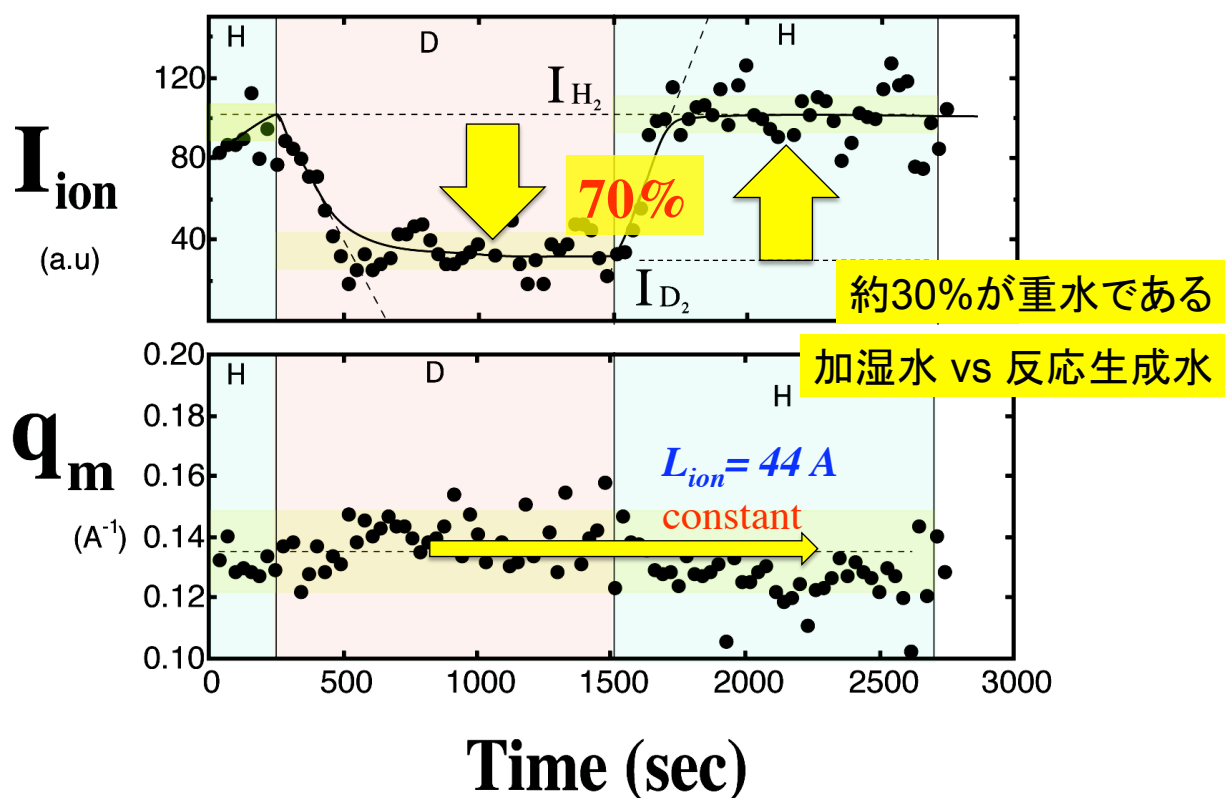
$$I(q) \sim I_{Cry} q^{-\alpha} + I_{ion} \exp[C(q - q_m)^2]$$

(1) Crystalline domain (2) Proton Conducting Channel

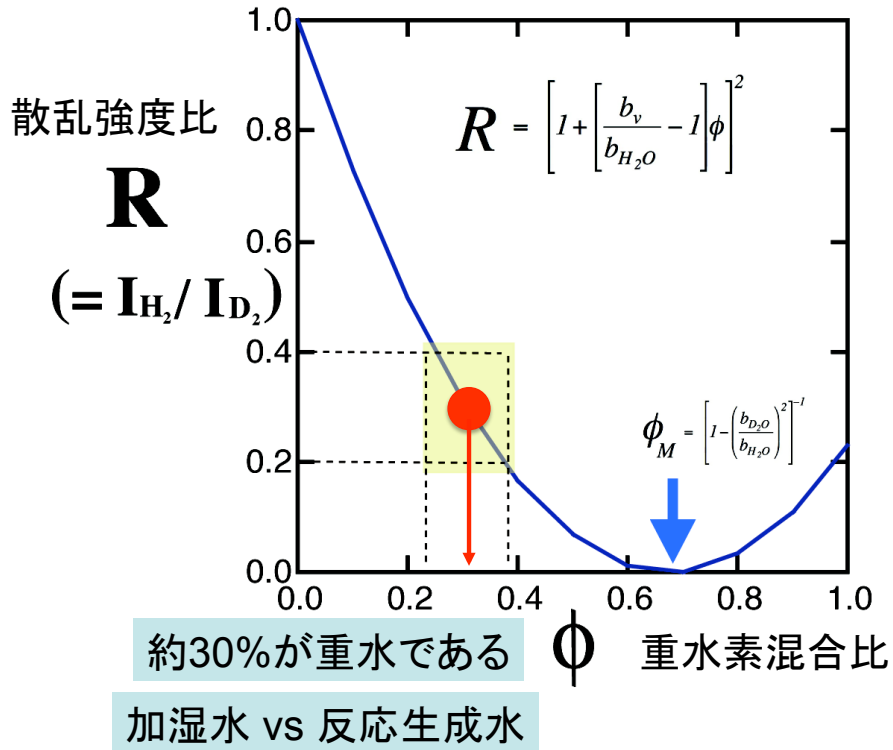


Kim et al. *Macromolecules* Vol. 39, No.14, 2006

散乱極大の強度(I_{ion})と位置(q_m)の時間変化



ガス交換後の散乱強度比から重水素の混合比を決定！



水・プロトンの動きを見る時分割中性子小角散乱

水素・プロトンの拡散

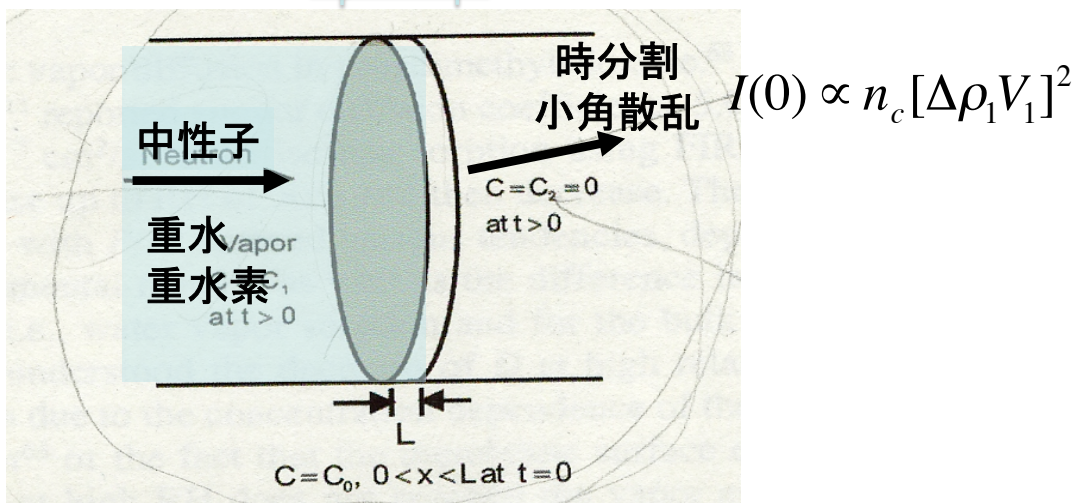
中性子に対するコントラスト変化

散乱強度の時間変化

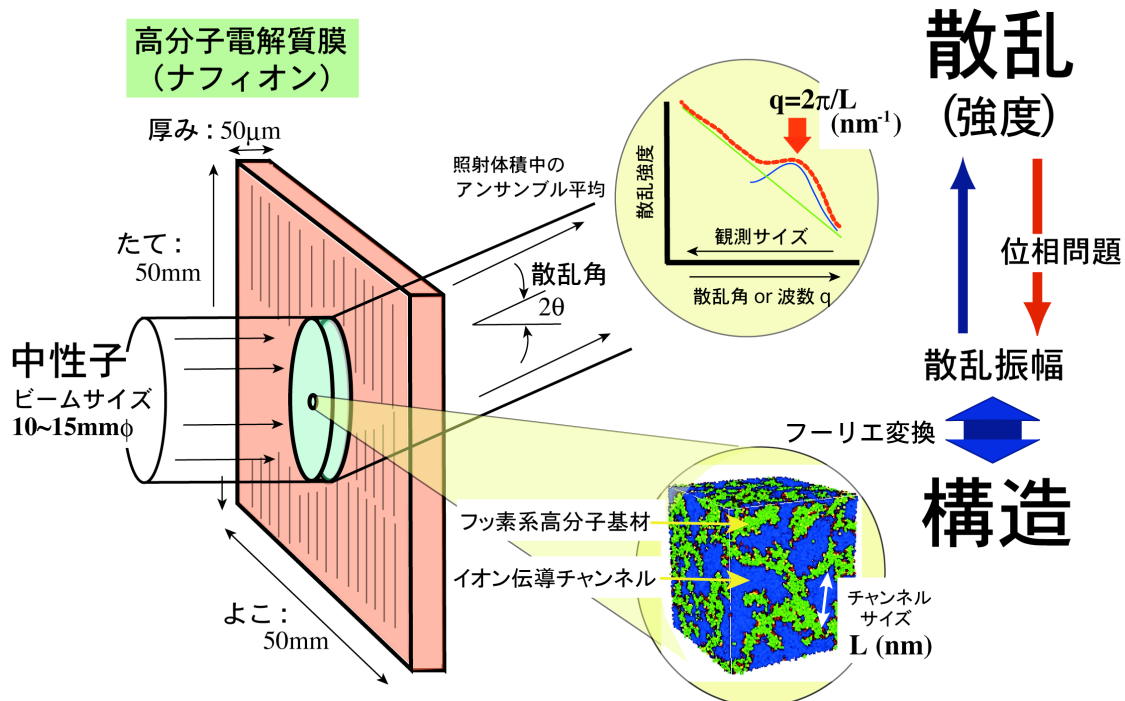
拡散係数

アノード加湿水
水素

カソード加湿水
生成水



次世代散乱実験の課題：散乱データを実画像で可視化



H21以降の計画 燃料電池可視化技術開発で
中性子散乱実験学とソフトマター計算機科学の新しい連携

<p>中性子小角散乱実験 (原子力機構 先端基礎研究センター)</p> <p>コントラスト変調法による精密構造解析</p> <p>部分散乱関数展開</p> $S^{\exp}(q) = \sum_{i,j} S^{\exp}_{ij}(q)$ <p>喪失した位相情報をコントラストの多様性で補い情報量を復活</p>	<p>計算機科学 (東北大学川勝年洋先生)</p> <p>ソフトマター場の理論をMEM法のもとで散乱実験結果に最適化</p> $F = \sum_{i,j} \int dq \left\{ \alpha S_{ij}(q; H) \ln S_{ij}(q; H) + (S_{ij}(q; H) - S_{ij}^{\exp}(q)) \right\}$ <p><small>H: ハミルトニアン</small></p> <p>ソフトマターの個性を加味した場の理論</p> <p>自己無撞着場理論, 粒子散逸法, GL 量子化学計算(水和) & RMC法</p>
--	---

ミクロ～メゾスケールの物質内部を可視化

{ 膜電極接合体(触媒+電解質膜) }

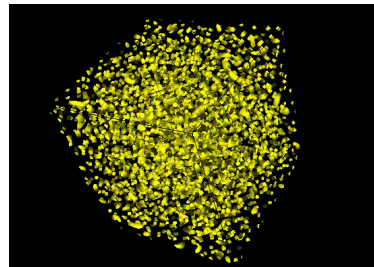
含水率6.3wt%のイオンチャンネル予測

東北大 理学研究科 川勝年洋先生

シミュレータ名:

OCTAシステム動的自己無撞着場理論による界面シミュレータ
SUSHI(Simulation Utilities for Soft and Hard Interfaces)

<http://octa.jp/>



実空間イメージ

実験との比較

